

Síť TN, jmenovité napětí AC 230 / 400 V.

K ověření selektivity byly použity údaje výrobce

K výpočtu byly použity následující normy : ČSN 33 2000-4-41 ed. 3, PNE 33 0000-1 ed. 6, ČSN 33 2000-4-43 ed. 2 a ČSN 33 2000-5-52 ed. 2.

K zobrazení vypínacích charakteristik byly použity údaje výrobce

Charakteristiky jsou vedeny v 75% proudového rozptylového pásma

Pro výpočty zkratů byla použita ČSN EN 60909-0

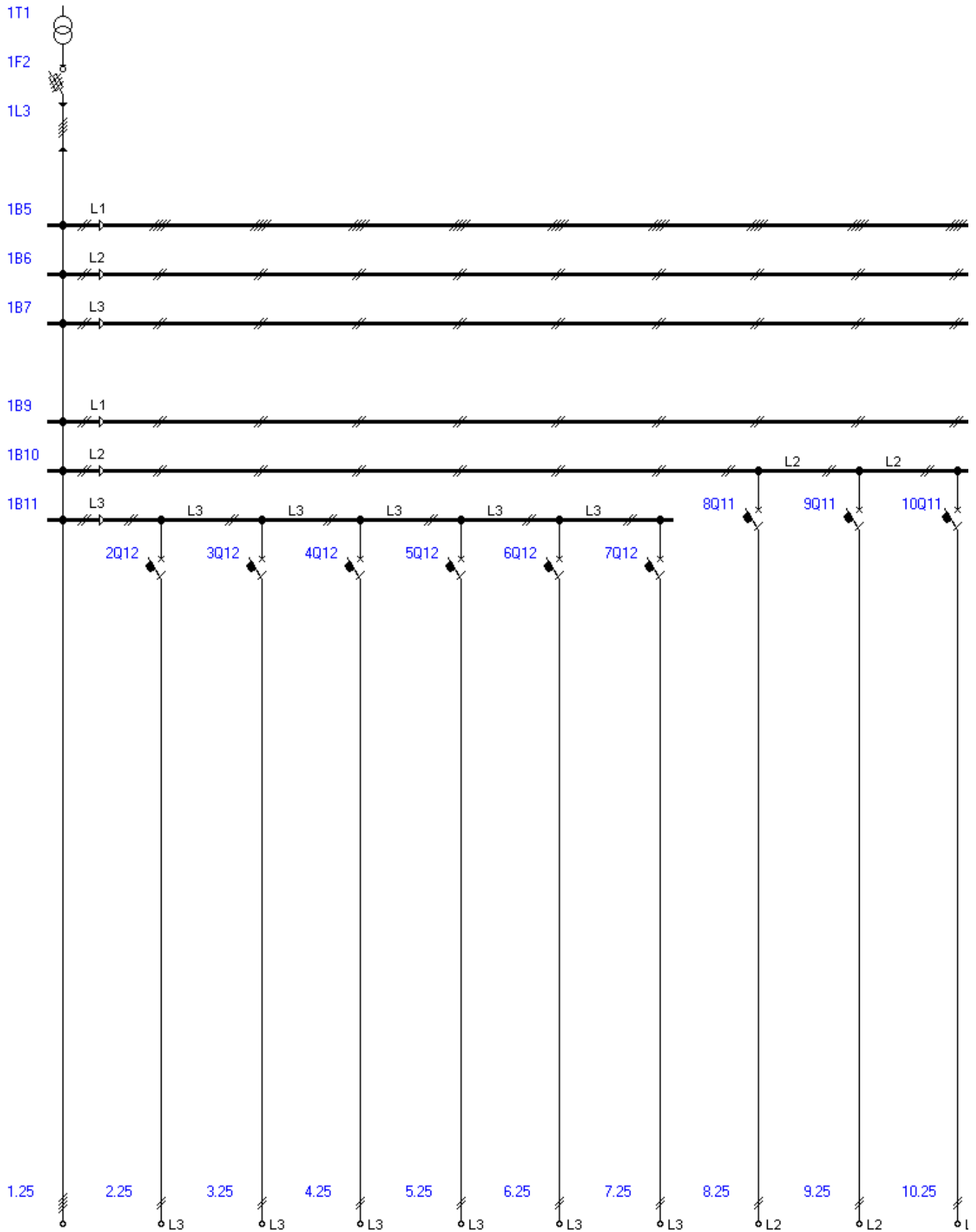
Soupiska strojů, přístrojů a vodičů

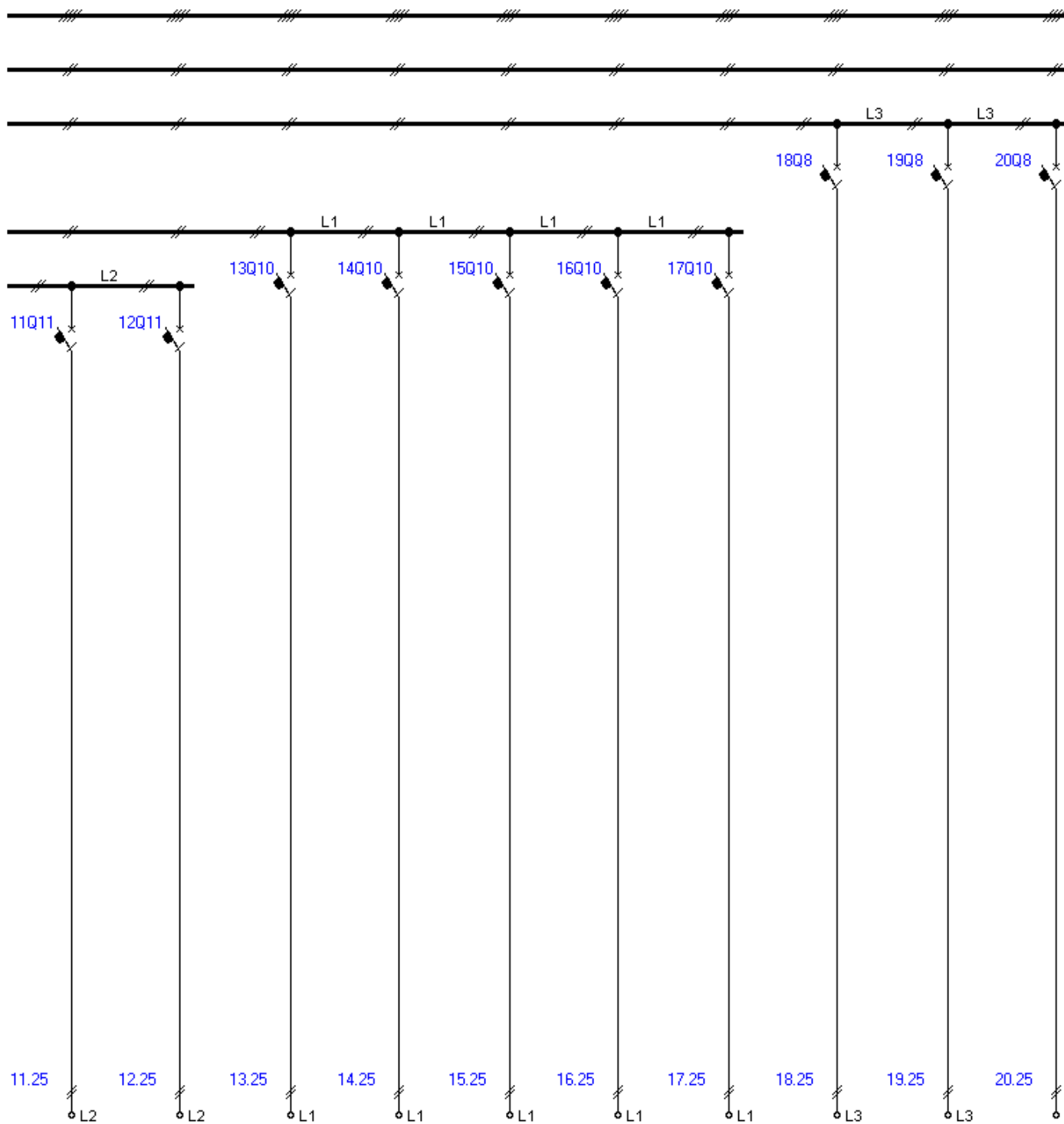
Veškeré přístroje jsou uvedeny pouze v základním provedení

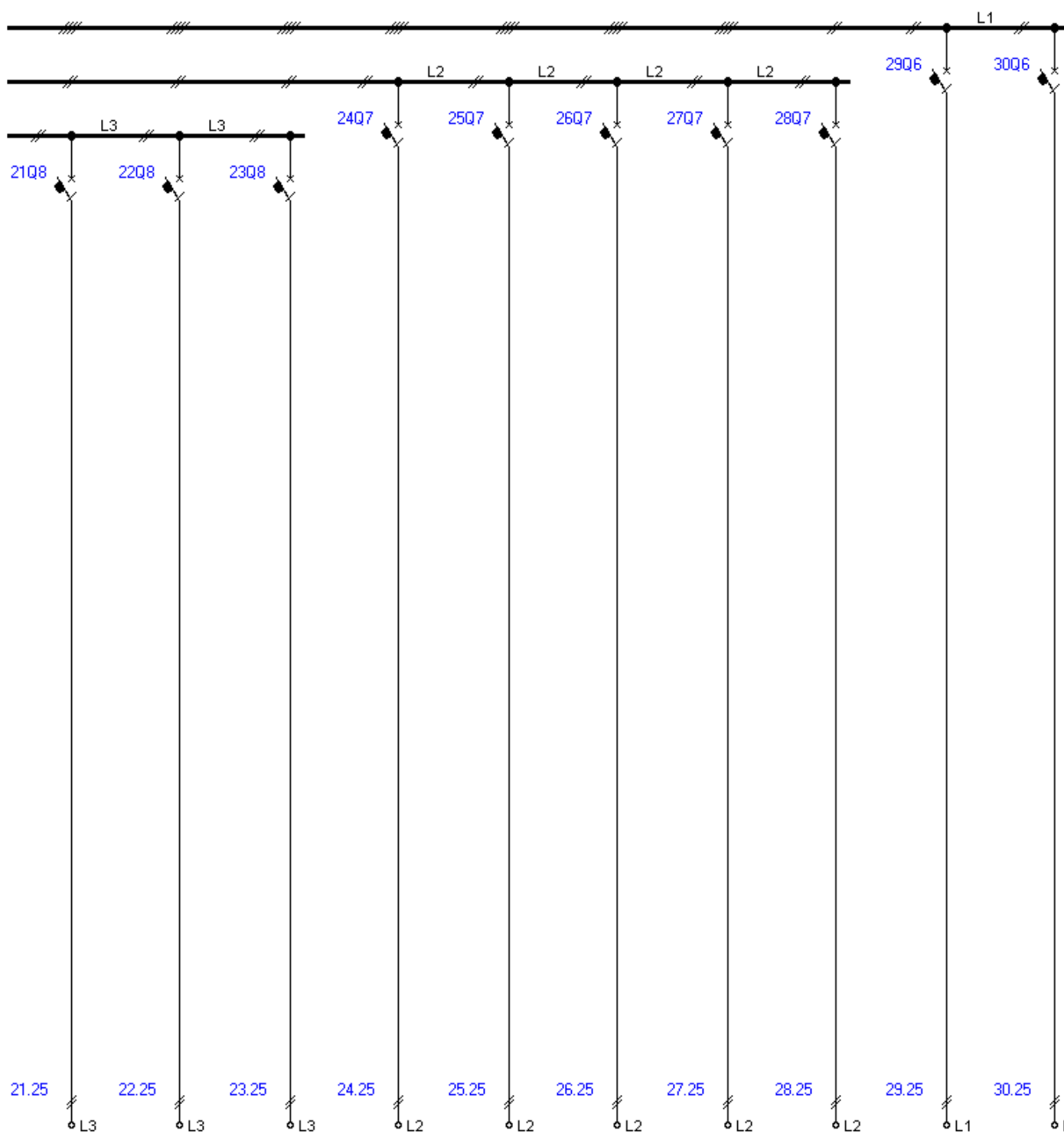
Doplňkové příslušenství naleznete v katalogu nebo Konfiguratoru OEZ

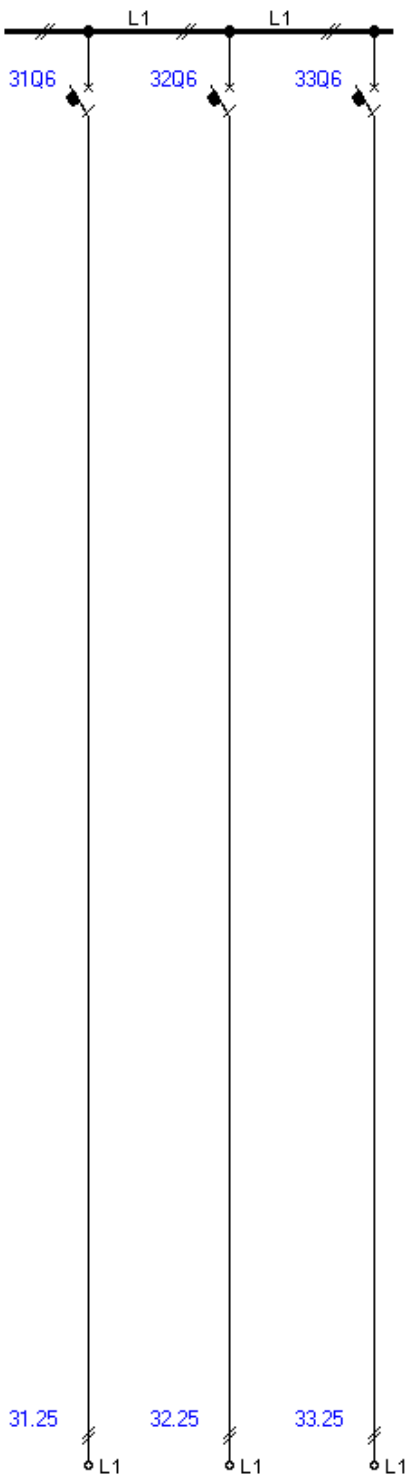
Přístroje označené * nemají úplné typové označení a je nutné je vyhledat v katalogu nebo Konfiguratoru OEZ

1T1	TE 775 6/0.40, In = 909 A, Sr = 630 kVA	1 ks
1F2	* FH000-3...	1 ks
1F2	PNA000 80A gG	3 ks
1L3	1-AYKY 4x70	130 m
2Q12	LTE-16B-1	1 ks
3Q12	LTE-16B-1	1 ks
4Q12	LTE-16B-1	1 ks
5Q12	LTE-16B-1	1 ks
6Q12	LTE-16B-1	1 ks
7Q12	LTE-16B-1	1 ks
8Q11	LTE-16B-1	1 ks
9Q11	LTE-16B-1	1 ks
10Q11	LTE-16B-1	1 ks
11Q11	LTE-16B-1	1 ks
12Q11	LTE-16B-1	1 ks
13Q10	LTE-16B-1	1 ks
14Q10	LTE-16B-1	1 ks
15Q10	LTE-16B-1	1 ks
16Q10	LTE-16B-1	1 ks
17Q10	LTE-16B-1	1 ks
18Q8	LTE-16B-1	1 ks
19Q8	LTE-16B-1	1 ks
20Q8	LTE-16B-1	1 ks
21Q8	LTE-16B-1	1 ks
22Q8	LTE-16B-1	1 ks
23Q8	LTE-16B-1	1 ks
24Q7	LTE-16B-1	1 ks
25Q7	LTE-16B-1	1 ks
26Q7	LTE-16B-1	1 ks
27Q7	LTE-16B-1	1 ks
28Q7	LTE-16B-1	1 ks
29Q6	LTE-16B-1	1 ks
30Q6	LTE-16B-1	1 ks
31Q6	LTE-16B-1	1 ks
32Q6	LTE-16B-1	1 ks
33Q6	LTE-16B-1	1 ks









1T1	TE775 6/0.40 $U_2 = 231/400\text{ V}$ $S_r = 630\text{ kVA}$ $I_k'' = 14.8\text{ kA}$ Parametry VN sítě : $S_k = 500\text{ MVA}$, $X/R = 10.01$ $I_n = 909\text{ A}$ $u_k = 6\%$ $i_p = 33.4\text{ kA}$ $dU = 0.0\%$		
1F2	PNA000 80A gG $I_n = 80\text{ A}$	$I_{cc} = 120\text{ kA}$ $i_o = 5.98\text{ kA}$	Připojeno pomocí FH000 $Z_s(0,4s) = 339\text{ m}\Omega$, $I_a = 682\text{ A}$, $R(50V/5s) = 135\text{ m}\Omega$
1L3	1-AYKY 4x70 $I_z = 113\text{ A}$ $t_m = 68^\circ\text{ C}$ $(I_k'' = 3.52\text{ kA})$ $dU = 0.0\%$ $I_{2t} < k_{252}$ $i_o = 4.11\text{ kA}$		130 m v zemi (D) O.K. $Z_{sv} < Z_s(0,4s)$ ($133\text{ m}\Omega < 339\text{ m}\Omega$, $2/3 Z_s = 226\text{ m}\Omega$) Teplota okolí [st. C] : 20 Měrný tepelný odpor [K.m ² /W] : 2.5 = suchá půda, velmi řídké deště Uspořádání seskupených obvodů : 1 x přímo v zemi
1B5	Sběrnice B = 1 $U = 400\text{ V}$ ($U_n + 0.0\%$)	$I_{k1}'' = 2.32\text{ kA}$ $i_{p1} = 3.35\text{ kA}$	O.K. $Z_{sv} < Z_s(0,4s)$ ($133\text{ m}\Omega < 339\text{ m}\Omega$, $2/3 Z_s = 226\text{ m}\Omega$)
1B6	Sběrnice B = 1 $U = 400\text{ V}$ ($U_n + 0.0\%$)	$I_{k1}'' = 2.32\text{ kA}$ $i_{p1} = 3.35\text{ kA}$	O.K. $Z_{sv} < Z_s(0,4s)$ ($133\text{ m}\Omega < 339\text{ m}\Omega$, $2/3 Z_s = 226\text{ m}\Omega$)
1B7	Sběrnice B = 1 $U = 400\text{ V}$ ($U_n + 0.0\%$)	$I_{k1}'' = 2.32\text{ kA}$ $i_{p1} = 3.35\text{ kA}$	O.K. $Z_{sv} < Z_s(0,4s)$ ($133\text{ m}\Omega < 339\text{ m}\Omega$, $2/3 Z_s = 226\text{ m}\Omega$)
1B9	Sběrnice B = 1 $U = 400\text{ V}$ ($U_n + 0.0\%$)	$I_{k1}'' = 2.32\text{ kA}$ $i_{p1} = 3.35\text{ kA}$	O.K. $Z_{sv} < Z_s(0,4s)$ ($133\text{ m}\Omega < 339\text{ m}\Omega$, $2/3 Z_s = 226\text{ m}\Omega$)
1B10	Sběrnice B = 1 $U = 400\text{ V}$ ($U_n + 0.0\%$)	$I_{k1}'' = 2.32\text{ kA}$ $i_{p1} = 3.35\text{ kA}$	O.K. $Z_{sv} < Z_s(0,4s)$ ($133\text{ m}\Omega < 339\text{ m}\Omega$, $2/3 Z_s = 226\text{ m}\Omega$)
1B11	Sběrnice B = 1 $U = 400\text{ V}$ ($U_n + 0.0\%$)	$I_{k1}'' = 2.32\text{ kA}$ $i_{p1} = 3.35\text{ kA}$	O.K. $Z_{sv} < Z_s(0,4s)$ ($133\text{ m}\Omega < 339\text{ m}\Omega$, $2/3 Z_s = 226\text{ m}\Omega$)
1.25	Vývod $S = 0\text{ VA}$ $U = 400\text{ V}$ ($U_n + 0.0\%$)	$i_o = 3.69\text{ kA}$	$(I_k'' = 3.52\text{ kA}, i_p = 5.08\text{ kA})$ O.K. $Z_{sv} < Z_s(0,4s)$ ($133\text{ m}\Omega < 339\text{ m}\Omega$, $2/3 Z_s = 226\text{ m}\Omega$)
2Q12	LTE-16B $I_n = 16\text{ A}$	$I_{cc} = 50\text{ kA}$ $i_{p1} = 3.35\text{ kA}$	$I_i = 72\text{ A}$ $Z_s(0,4s) = 2.87\text{ }\Omega$, $I_a = 81\text{ A}$, $R(50V/5s) = 621\text{ m}\Omega$ 1F2-2Q12 selektivita ověřena do 4.0 kA > $I_k'' = 2.32\text{ kA}$ 1F2-2Q12 zaručena úplná selektivita
2.25	Vývod $S = 0\text{ VA}$ $U = 231\text{ V}$ ($U_n + 0.0\%$)	$I_{k1}'' = 2.32\text{ kA}$ $i_{p1} = 3.35\text{ kA}$	O.K. $Z_{sv} < Z_s(0,4s)$ ($139\text{ m}\Omega < 2.87\text{ }\Omega$, $2/3 Z_s = 1.91\text{ }\Omega$)
3Q12	LTE-16B $I_n = 16\text{ A}$	$I_{cc} = 50\text{ kA}$ $i_{p1} = 3.35\text{ kA}$	$I_i = 72\text{ A}$ $Z_s(0,4s) = 2.87\text{ }\Omega$, $I_a = 81\text{ A}$, $R(50V/5s) = 621\text{ m}\Omega$ 1F2-3Q12 selektivita ověřena do 4.0 kA > $I_k'' = 2.32\text{ kA}$ 1F2-3Q12 zaručena úplná selektivita
3.25	Vývod $S = 0\text{ VA}$	$I_{k1}'' = 2.32\text{ kA}$	O.K. $Z_{sv} < Z_s(0,4s)$ ($139\text{ m}\Omega < 2.87\text{ }\Omega$, $2/3 Z_s = 1.91\text{ }\Omega$)

U = 231 V (Un + 0.0%)

ip1 = 3.35 kA

4Q12 **LTE-16B**

In = 16 A

Icc = 50 kA
ip1 = 3.35 kA

Ii = 72 A
Zs(0,4s) = 2.87 Ohm, Ia = 81 A, R(50V/5s) = 621 mOhm
1F2-4Q12 selektivita ověřena do 4.0 kA > Ik'' = 2.32 kA
1F2-4Q12 zaručena úplná selektivita

4.25 **Vývod**

S = 0 VA
U = 231 V (Un + 0.0%)

Ik1'' = 2.32 kA
ip1 = 3.35 kA

O.K. Zsv < Zs(0,4s) (139 mOhm < 2.87 Ohm, 2/3 Zs = 1.91 Ohm)

5Q12 **LTE-16B**

In = 16 A

Icc = 50 kA
ip1 = 3.35 kA

Ii = 72 A
Zs(0,4s) = 2.87 Ohm, Ia = 81 A, R(50V/5s) = 621 mOhm
1F2-5Q12 selektivita ověřena do 4.0 kA > Ik'' = 2.32 kA
1F2-5Q12 zaručena úplná selektivita

5.25 **Vývod**

S = 0 VA
U = 231 V (Un + 0.0%)

Ik1'' = 2.32 kA
ip1 = 3.35 kA

O.K. Zsv < Zs(0,4s) (139 mOhm < 2.87 Ohm, 2/3 Zs = 1.91 Ohm)

6Q12 **LTE-16B**

In = 16 A

Icc = 50 kA
ip1 = 3.35 kA

Ii = 72 A
Zs(0,4s) = 2.87 Ohm, Ia = 81 A, R(50V/5s) = 621 mOhm
1F2-6Q12 selektivita ověřena do 4.0 kA > Ik'' = 2.32 kA
1F2-6Q12 zaručena úplná selektivita

6.25 **Vývod**

S = 0 VA
U = 231 V (Un + 0.0%)

Ik1'' = 2.32 kA
ip1 = 3.35 kA

O.K. Zsv < Zs(0,4s) (139 mOhm < 2.87 Ohm, 2/3 Zs = 1.91 Ohm)

7Q12 **LTE-16B**

In = 16 A

Icc = 50 kA
ip1 = 3.35 kA

Ii = 72 A
Zs(0,4s) = 2.87 Ohm, Ia = 81 A, R(50V/5s) = 621 mOhm
1F2-7Q12 selektivita ověřena do 4.0 kA > Ik'' = 2.32 kA
1F2-7Q12 zaručena úplná selektivita

7.25 **Vývod**

S = 0 VA
U = 231 V (Un + 0.0%)

Ik1'' = 2.32 kA
ip1 = 3.35 kA

O.K. Zsv < Zs(0,4s) (139 mOhm < 2.87 Ohm, 2/3 Zs = 1.91 Ohm)

8Q11 **LTE-16B**

In = 16 A

Icc = 50 kA
ip1 = 3.35 kA

Ii = 72 A
Zs(0,4s) = 2.87 Ohm, Ia = 81 A, R(50V/5s) = 621 mOhm
1F2-8Q11 selektivita ověřena do 4.0 kA > Ik'' = 2.32 kA
1F2-8Q11 zaručena úplná selektivita

8.25 **Vývod**

S = 0 VA
U = 231 V (Un + 0.0%)

Ik1'' = 2.32 kA
ip1 = 3.35 kA

O.K. Zsv < Zs(0,4s) (139 mOhm < 2.87 Ohm, 2/3 Zs = 1.91 Ohm)

9Q11 **LTE-16B**

In = 16 A

Icc = 50 kA
ip1 = 3.35 kA

Ii = 72 A
Zs(0,4s) = 2.87 Ohm, Ia = 81 A, R(50V/5s) = 621 mOhm
1F2-9Q11 selektivita ověřena do 4.0 kA > Ik'' = 2.32 kA
1F2-9Q11 zaručena úplná selektivita

9.25 **Vývod**

S = 0 VA
U = 231 V (Un + 0.0%)
Ik1'' = 2.32 kA
ip1 = 3.35 kA
O.K. Zsv < Zs(0,4s) (139 mOhm < 2.87 Ohm, 2/3 Zs = 1.91 Ohm)

10Q11 **LTE-16B**

In = 16 A

Icc = 50 kA
ip1 = 3.35 kA

Ii = 72 A
Zs(0,4s) = 2.87 Ohm, Ia = 81 A, R(50V/5s) = 621 mOhm
1F2-10Q11 selektivita ověřena do 4.0 kA > Ik'' = 2.32 kA
1F2-10Q11 zaručena úplná selektivita

10.25 **Vývod**

S = 0 VA
U = 231 V (Un + 0.0%)

Ik1'' = 2.32 kA
ip1 = 3.35 kA

O.K. Zsv < Zs(0,4s) (139 mOhm < 2.87 Ohm, 2/3 Zs = 1.91 Ohm)

11Q11 **LTE-16B**

In = 16 A

Icc = 50 kA
ip1 = 3.35 kA

Ii = 72 A
Zs(0,4s) = 2.87 Ohm, Ia = 81 A, R(50V/5s) = 621 mOhm
1F2-11Q11 selektivita ověřena do 4.0 kA > Ik'' = 2.32 kA
1F2-11Q11 zaručena úplná selektivita

11.25 **Vývod**

S = 0 VA
U = 231 V (Un + 0.0%)

Ik1'' = 2.32 kA
ip1 = 3.35 kA

O.K. Zsv < Zs(0,4s) (139 mOhm < 2.87 Ohm, 2/3 Zs = 1.91 Ohm)

12Q11 **LTE-16B**

In = 16 A

Icc = 50 kA
ip1 = 3.35 kA

Ii = 72 A
Zs(0,4s) = 2.87 Ohm, Ia = 81 A, R(50V/5s) = 621 mOhm
1F2-12Q11 selektivita ověřena do 4.0 kA > Ik'' = 2.32 kA
1F2-12Q11 zaručena úplná selektivita

12.25 **Vývod**

S = 0 VA
U = 231 V (Un + 0.0%)

Ik1'' = 2.32 kA
ip1 = 3.35 kA

O.K. Zsv < Zs(0,4s) (139 mOhm < 2.87 Ohm, 2/3 Zs = 1.91 Ohm)

13Q10 **LTE-16B**

In = 16 A

Icc = 50 kA
ip1 = 3.35 kA

Ii = 72 A
Zs(0,4s) = 2.87 Ohm, Ia = 81 A, R(50V/5s) = 621 mOhm
1F2-13Q10 selektivita ověřena do 4.0 kA > Ik'' = 2.32 kA
1F2-13Q10 zaručena úplná selektivita

13.25 **Vývod**

S = 0 VA
U = 231 V (Un + 0.0%)

Ik1'' = 2.32 kA
ip1 = 3.35 kA

O.K. Zsv < Zs(0,4s) (139 mOhm < 2.87 Ohm, 2/3 Zs = 1.91 Ohm)

14Q10 **LTE-16B**

In = 16 A

Icc = 50 kA
ip1 = 3.35 kA

Ii = 72 A
Zs(0,4s) = 2.87 Ohm, Ia = 81 A, R(50V/5s) = 621 mOhm
1F2-14Q10 selektivita ověřena do 4.0 kA > Ik'' = 2.32 kA
1F2-14Q10 zaručena úplná selektivita

14.25 **Vývod**

S = 0 VA
U = 231 V (Un + 0.0%)

Ik1'' = 2.32 kA
ip1 = 3.35 kA

O.K. Zsv < Zs(0,4s) (139 mOhm < 2.87 Ohm, 2/3 Zs = 1.91 Ohm)

15Q10 **LTE-16B**

In = 16 A

Icc = 50 kA
ip1 = 3.35 kA

Ii = 72 A
Zs(0,4s) = 2.87 Ohm, Ia = 81 A, R(50V/5s) = 621 mOhm
1F2-15Q10 selektivita ověřena do 4.0 kA > Ik'' = 2.32 kA
1F2-15Q10 zaručena úplná selektivita

15.25 **Vývod**

S = 0 VA
U = 231 V (Un + 0.0%)

Ik1'' = 2.32 kA
ip1 = 3.35 kA

O.K. Zsv < Zs(0,4s) (139 mOhm < 2.87 Ohm, 2/3 Zs = 1.91 Ohm)

16Q10 **LTE-16B**

In = 16 A

Icc = 50 kA
ip1 = 3.35 kA

Ii = 72 A
Zs(0,4s) = 2.87 Ohm, Ia = 81 A, R(50V/5s) = 621 mOhm
1F2-16Q10 selektivita ověřena do 4.0 kA > Ik'' = 2.32 kA
1F2-16Q10 zaručena úplná selektivita

16.25 **Vývod**

S = 0 VA
U = 231 V (Un + 0.0%)

Ik1'' = 2.32 kA
ip1 = 3.35 kA

O.K. Zsv < Zs(0,4s) (139 mOhm < 2.87 Ohm, 2/3 Zs = 1.91 Ohm)

17Q10 **LTE-16B**

In = 16 A

Icc = 50 kA
ip1 = 3.35 kA

Ii = 72 A
Zs(0,4s) = 2.87 Ohm, Ia = 81 A, R(50V/5s) = 621 mOhm
1F2-17Q10 selektivita ověřena do 4.0 kA > Ik'' = 2.32 kA
1F2-17Q10 zaručena úplná selektivita

17.25 **Vývod**

S = 0 VA
U = 231 V (Un + 0.0%)

Ik1'' = 2.32 kA
ip1 = 3.35 kA

O.K. Zsv < Zs(0,4s) (139 mOhm < 2.87 Ohm, 2/3 Zs = 1.91 Ohm)

18Q8 **LTE-16B**

In = 16 A

Icc = 50 kA
ip1 = 3.35 kA

Ii = 72 A
Zs(0,4s) = 2.87 Ohm, Ia = 81 A, R(50V/5s) = 621 mOhm
1F2-18Q8 selektivita ověřena do 4.0 kA > Ik'' = 2.32 kA
1F2-18Q8 zaručena úplná selektivita

18.25 **Vývod**

S = 0 VA
U = 231 V (Un + 0.0%)

Ik1'' = 2.32 kA
ip1 = 3.35 kA

O.K. Zsv < Zs(0,4s) (139 mOhm < 2.87 Ohm, 2/3 Zs = 1.91 Ohm)

19Q8 **LTE-16B**

In = 16 A

Icc = 50 kA
ip1 = 3.35 kA

Ii = 72 A
Zs(0,4s) = 2.87 Ohm, Ia = 81 A, R(50V/5s) = 621 mOhm
1F2-19Q8 selektivita ověřena do 4.0 kA > Ik'' = 2.32 kA
1F2-19Q8 zaručena úplná selektivita

19.25 **Vývod**

S = 0 VA
U = 231 V (Un + 0.0%)

Ik1'' = 2.32 kA
ip1 = 3.35 kA

O.K. Zsv < Zs(0,4s) (139 mOhm < 2.87 Ohm, 2/3 Zs = 1.91 Ohm)

20Q8 **LTE-16B**

In = 16 A

Icc = 50 kA
ip1 = 3.35 kA

Ii = 72 A
Zs(0,4s) = 2.87 Ohm, Ia = 81 A, R(50V/5s) = 621 mOhm
1F2-20Q8 selektivita ověřena do 4.0 kA > Ik'' = 2.32 kA
1F2-20Q8 zaručena úplná selektivita

20.25 **Vývod**

S = 0 VA
U = 231 V (Un + 0.0%)

Ik1'' = 2.32 kA
ip1 = 3.35 kA

O.K. Zsv < Zs(0,4s) (139 mOhm < 2.87 Ohm, 2/3 Zs = 1.91 Ohm)

21Q8 **LTE-16B**

In = 16 A

Icc = 50 kA
ip1 = 3.35 kA

Ii = 72 A
Zs(0,4s) = 2.87 Ohm, Ia = 81 A, R(50V/5s) = 621 mOhm
1F2-21Q8 selektivita ověřena do 4.0 kA > Ik'' = 2.32 kA
1F2-21Q8 zaručena úplná selektivita

21.25 **Vývod**

S = 0 VA
U = 231 V (Un + 0.0%)
Ik1'' = 2.32 kA
ip1 = 3.35 kA
O.K. Zsv < Zs(0,4s) (139 mOhm < 2.87 Ohm, 2/3 Zs = 1.91 Ohm)

22Q8 **LTE-16B**

In = 16 A

Icc = 50 kA
ip1 = 3.35 kA

Ii = 72 A
Zs(0,4s) = 2.87 Ohm, Ia = 81 A, R(50V/5s) = 621 mOhm
1F2-22Q8 selektivita ověřena do 4.0 kA > Ik'' = 2.32 kA
1F2-22Q8 zaručena úplná selektivita

22.25 **Vývod**

S = 0 VA
U = 231 V (Un + 0.0%)

Ik1'' = 2.32 kA
ip1 = 3.35 kA

O.K. Zsv < Zs(0,4s) (139 mOhm < 2.87 Ohm, 2/3 Zs = 1.91 Ohm)

23Q8 **LTE-16B**

In = 16 A

Icc = 50 kA
ip1 = 3.35 kA

Ii = 72 A
Zs(0,4s) = 2.87 Ohm, Ia = 81 A, R(50V/5s) = 621 mOhm
1F2-23Q8 selektivita ověřena do 4.0 kA > Ik'' = 2.32 kA
1F2-23Q8 zaručena úplná selektivita

23.25 **Vývod**

S = 0 VA
U = 231 V (Un + 0.0%)

Ik1'' = 2.32 kA
ip1 = 3.35 kA

O.K. Zsv < Zs(0,4s) (139 mOhm < 2.87 Ohm, 2/3 Zs = 1.91 Ohm)

24Q7 **LTE-16B**

In = 16 A

Icc = 50 kA
ip1 = 3.35 kA

Ii = 72 A
Zs(0,4s) = 2.87 Ohm, Ia = 81 A, R(50V/5s) = 621 mOhm
1F2-24Q7 selektivita ověřena do 4.0 kA > Ik'' = 2.32 kA
1F2-24Q7 zaručena úplná selektivita

24.25 **Vývod**

S = 0 VA
U = 231 V (Un + 0.0%)

Ik1'' = 2.32 kA
ip1 = 3.35 kA

O.K. Zsv < Zs(0,4s) (139 mOhm < 2.87 Ohm, 2/3 Zs = 1.91 Ohm)

25Q7 **LTE-16B**

In = 16 A

Icc = 50 kA
ip1 = 3.35 kA

Ii = 72 A
Zs(0,4s) = 2.87 Ohm, Ia = 81 A, R(50V/5s) = 621 mOhm
1F2-25Q7 selektivita ověřena do 4.0 kA > Ik'' = 2.32 kA
1F2-25Q7 zaručena úplná selektivita

25.25 **Vývod**

S = 0 VA
U = 231 V (Un + 0.0%)

Ik1'' = 2.32 kA
ip1 = 3.35 kA

O.K. Zsv < Zs(0,4s) (139 mOhm < 2.87 Ohm, 2/3 Zs = 1.91 Ohm)

26Q7 **LTE-16B**

In = 16 A

Icc = 50 kA
ip1 = 3.35 kA

Ii = 72 A
Zs(0,4s) = 2.87 Ohm, Ia = 81 A, R(50V/5s) = 621 mOhm
1F2-26Q7 selektivita ověřena do 4.0 kA > Ik'' = 2.32 kA
1F2-26Q7 zaručena úplná selektivita

26.25 **Vývod**

S = 0 VA
U = 231 V (Un + 0.0%)

Ik1'' = 2.32 kA
ip1 = 3.35 kA

O.K. Zsv < Zs(0,4s) (139 mOhm < 2.87 Ohm, 2/3 Zs = 1.91 Ohm)

27Q7 **LTE-16B**

In = 16 A

Icc = 50 kA
ip1 = 3.35 kA

Ii = 72 A
Zs(0,4s) = 2.87 Ohm, Ia = 81 A, R(50V/5s) = 621 mOhm
1F2-27Q7 selektivita ověřena do 4.0 kA > Ik'' = 2.32 kA
1F2-27Q7 zaručena úplná selektivita

27.25 **Vývod**

S = 0 VA
U = 231 V (Un + 0.0%)
Ik1'' = 2.32 kA
ip1 = 3.35 kA
O.K. Zsv < Zs(0,4s) (139 mOhm < 2.87 Ohm, 2/3 Zs = 1.91 Ohm)

28Q7 **LTE-16B**

In = 16 A

Icc = 50 kA
ip1 = 3.35 kA

Ii = 72 A
Zs(0,4s) = 2.87 Ohm, Ia = 81 A, R(50V/5s) = 621 mOhm
1F2-28Q7 selektivita ověřena do 4.0 kA > Ik'' = 2.32 kA
1F2-28Q7 zaručena úplná selektivita

28.25 **Vývod**

S = 0 VA
U = 231 V (Un + 0.0%)

Ik1'' = 2.32 kA
ip1 = 3.35 kA

O.K. Zsv < Zs(0,4s) (139 mOhm < 2.87 Ohm, 2/3 Zs = 1.91 Ohm)

29Q6 **LTE-16B**

In = 16 A

Icc = 50 kA
ip1 = 3.35 kA

Ii = 72 A
Zs(0,4s) = 2.87 Ohm, Ia = 81 A, R(50V/5s) = 621 mOhm
1F2-29Q6 selektivita ověřena do 4.0 kA > Ik'' = 2.32 kA
1F2-29Q6 zaručena úplná selektivita

29.25 **Vývod**

S = 0 VA
U = 231 V (Un + 0.0%)

Ik1'' = 2.32 kA
ip1 = 3.35 kA

O.K. Zsv < Zs(0,4s) (139 mOhm < 2.87 Ohm, 2/3 Zs = 1.91 Ohm)

30Q6 **LTE-16B**

In = 16 A

Icc = 50 kA
ip1 = 3.35 kA

Ii = 72 A
Zs(0,4s) = 2.87 Ohm, Ia = 81 A, R(50V/5s) = 621 mOhm
1F2-30Q6 selektivita ověřena do 4.0 kA > Ik'' = 2.32 kA
1F2-30Q6 zaručena úplná selektivita

30.25 **Vývod**

S = 0 VA
U = 231 V (Un + 0.0%)

Ik1'' = 2.32 kA
ip1 = 3.35 kA

O.K. Zsv < Zs(0,4s) (139 mOhm < 2.87 Ohm, 2/3 Zs = 1.91 Ohm)

31Q6 **LTE-16B**

In = 16 A

Icc = 50 kA
ip1 = 3.35 kA

Ii = 72 A
Zs(0,4s) = 2.87 Ohm, Ia = 81 A, R(50V/5s) = 621 mOhm
1F2-31Q6 selektivita ověřena do 4.0 kA > Ik'' = 2.32 kA
1F2-31Q6 zaručena úplná selektivita

31.25 **Vývod**

S = 0 VA
U = 231 V (Un + 0.0%)

Ik1'' = 2.32 kA
ip1 = 3.35 kA

O.K. Zsv < Zs(0,4s) (139 mOhm < 2.87 Ohm, 2/3 Zs = 1.91 Ohm)

32Q6 **LTE-16B**

In = 16 A

Icc = 50 kA
ip1 = 3.35 kA

Ii = 72 A
Zs(0,4s) = 2.87 Ohm, Ia = 81 A, R(50V/5s) = 621 mOhm
1F2-32Q6 selektivita ověřena do 4.0 kA > Ik'' = 2.32 kA
1F2-32Q6 zaručena úplná selektivita

32.25 **Vývod**

S = 0 VA
U = 231 V (Un + 0.0%)

Ik1'' = 2.32 kA
ip1 = 3.35 kA

O.K. Zsv < Zs(0,4s) (139 mOhm < 2.87 Ohm, 2/3 Zs = 1.91 Ohm)

33Q6 **LTE-16B**

In = 16 A

Icc = 50 kA
ip1 = 3.35 kA

Ii = 72 A
Zs(0,4s) = 2.87 Ohm, Ia = 81 A, R(50V/5s) = 621 mOhm
1F2-33Q6 selektivita ověřena do 4.0 kA > Ik'' = 2.32 kA
1F2-33Q6 zaručena úplná selektivita

33.25 **Vývod**

S = 0 VA
U = 231 V (Un + 0.0%)

$I_{k1}'' = 2.32 \text{ kA}$
 $i_{p1} = 3.35 \text{ kA}$

O.K. $Z_{sv} < Z_s(0,4s)$ ($139 \text{ m}\Omega < 2.87 \text{ }\Omega$, $2/3 Z_s = 1.91 \text{ }\Omega$)

Zapojení	Přístroj	Poznámka
1T1	TE775 6/0.40 $I_n = 909 \text{ A}$ $S_r = 630 \text{ kVA}$ $I_{k1}'' = 14.8 \text{ kA}$ $U_2 = 231/400 \text{ V}$ $dU = 0.0 \%$ $u_k = 6 \%$ $i_p = 33.4 \text{ kA}$	
1F2	<u>PNA000qG</u> $I_n = 80 \text{ A}$ $I_{cc} = 120 \text{ kA}$ Připojeno pomocí FH000 $i_o = 5.98 \text{ kA}$	
1L3	<u>1-AYKY 4x70</u> $I_z = 113 \text{ A}$ $t_m = 68 \text{ }^\circ\text{C}$ $(I_{k1}'' = 3.52 \text{ kA})$ 130 m v zemi (D) $dU = 0.0 \%$ $I^2t < k^2S^2$ $i_o = 4.11 \text{ kA}$	
1B5	L1 <u>Sběrnice</u> $B = 1$ $I_{k1}'' = 2.32 \text{ kA}$ $U = 400 \text{ V (} U_n + 0.0\% \text{)}$ $i_{p1} = 3.35 \text{ kA}$	
1B6	L2 <u>Sběrnice</u> $B = 1$ $I_{k1}'' = 2.32 \text{ kA}$ $U = 400 \text{ V (} U_n + 0.0\% \text{)}$ $i_{p1} = 3.35 \text{ kA}$	
1B7	L3 <u>Sběrnice</u> $B = 1$ $I_{k1}'' = 2.32 \text{ kA}$ $U = 400 \text{ V (} U_n + 0.0\% \text{)}$ $i_{p1} = 3.35 \text{ kA}$	
1B9	L1 <u>Sběrnice</u> $B = 1$ $I_{k1}'' = 2.32 \text{ kA}$ $U = 400 \text{ V (} U_n + 0.0\% \text{)}$ $i_{p1} = 3.35 \text{ kA}$	
1B10	L2 <u>Sběrnice</u> $B = 1$ $I_{k1}'' = 2.32 \text{ kA}$ $U = 400 \text{ V (} U_n + 0.0\% \text{)}$ $i_{p1} = 3.35 \text{ kA}$	
1B11	L3 <u>Sběrnice</u> $B = 1$ $I_{k1}'' = 2.32 \text{ kA}$ $U = 400 \text{ V (} U_n + 0.0\% \text{)}$ $i_{p1} = 3.35 \text{ kA}$	
1.25	<u>Vývod</u> $S = 0 \text{ VA}$ $U = 400 \text{ V (} U_n + 0.0\% \text{)}$ $i_o = 3.69 \text{ kA}$	$(I_{k1}'' = 3.52 \text{ kA, } i_p = 5.08 \text{ kA})$

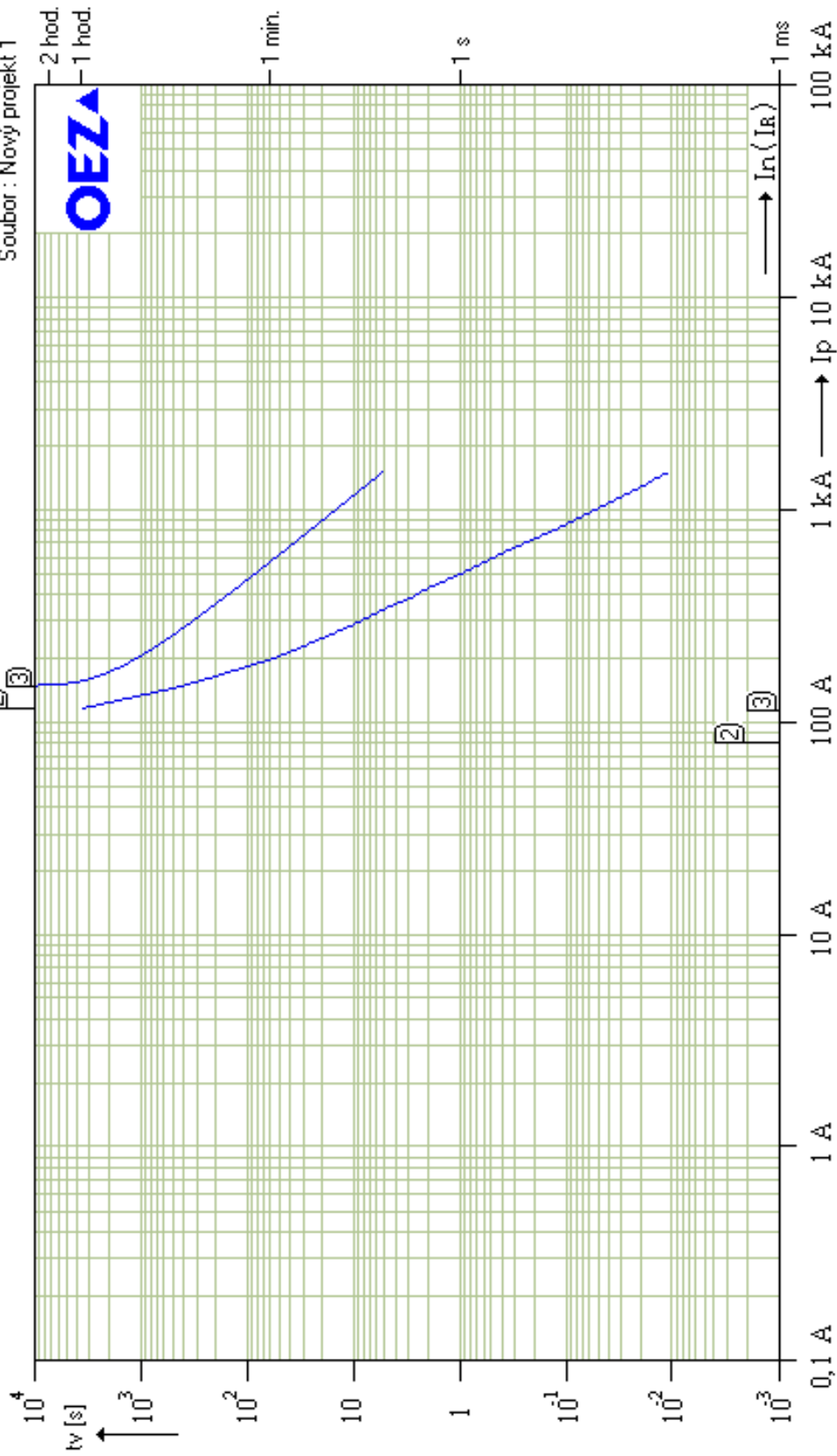
Zapojení	Přístroj	Poznámka
1T1	TE775 6/0.40 $I_n = 909 \text{ A}$ $S_r = 630 \text{ kVA}$ $I_k'' = 14.8 \text{ kA}$ $U_2 = 231/400 \text{ V}$ $dU = 0.0 \%$	
1F2	<u>PNA000qG</u> $I_n = 80 \text{ A}$ $I_{cc} = 120 \text{ kA}$ Připojeno pomocí FH000 $Z_s(0,4s) = 339 \text{ m}\Omega$, $I_a = 682 \text{ A}$, $R(50\text{V}/5s) = 135 \text{ m}\Omega$	
1L3	<u>1-AYKY 4x70</u> $I_z = 113 \text{ A}$ $t_m = 68 \text{ }^\circ\text{C}$ ($I_k'' = 3.52 \text{ kA}$) O.K. $Z_{sv} < Z_s(0,4s)$ ($133 \text{ m}\Omega < 339 \text{ m}\Omega$, $2/3 Z_s = 226 \text{ m}\Omega$) 130 m, (D) $dU = 0.0 \%$ $I^2 t < k^2 S^2$ $i_o = 4.11 \text{ kA}$	
1B5	L1 <u>Sběrnice</u> $B = 1$ $U = 400 \text{ V}$ ($U_n + 0.0\%$)	$I_k1'' = 2.32 \text{ kA}$ O.K. $Z_{sv} < Z_s(0,4s)$ ($133 \text{ m}\Omega < 339 \text{ m}\Omega$, $2/3 Z_s = 226 \text{ m}\Omega$) $i_{p1} = 3.35 \text{ kA}$
1B6	L2 <u>Sběrnice</u> $B = 1$ $U = 400 \text{ V}$ ($U_n + 0.0\%$)	$I_k1'' = 2.32 \text{ kA}$ O.K. $Z_{sv} < Z_s(0,4s)$ ($133 \text{ m}\Omega < 339 \text{ m}\Omega$, $2/3 Z_s = 226 \text{ m}\Omega$) $i_{p1} = 3.35 \text{ kA}$
1B7	L3 <u>Sběrnice</u> $B = 1$ $U = 400 \text{ V}$ ($U_n + 0.0\%$)	$I_k1'' = 2.32 \text{ kA}$ O.K. $Z_{sv} < Z_s(0,4s)$ ($133 \text{ m}\Omega < 339 \text{ m}\Omega$, $2/3 Z_s = 226 \text{ m}\Omega$) $i_{p1} = 3.35 \text{ kA}$
1B9	L1 <u>Sběrnice</u> $B = 1$ $U = 400 \text{ V}$ ($U_n + 0.0\%$)	$I_k1'' = 2.32 \text{ kA}$ O.K. $Z_{sv} < Z_s(0,4s)$ ($133 \text{ m}\Omega < 339 \text{ m}\Omega$, $2/3 Z_s = 226 \text{ m}\Omega$) $i_{p1} = 3.35 \text{ kA}$
1B10	L2 <u>Sběrnice</u> $B = 1$ $U = 400 \text{ V}$ ($U_n + 0.0\%$)	$I_k1'' = 2.32 \text{ kA}$ O.K. $Z_{sv} < Z_s(0,4s)$ ($133 \text{ m}\Omega < 339 \text{ m}\Omega$, $2/3 Z_s = 226 \text{ m}\Omega$) $i_{p1} = 3.35 \text{ kA}$
1B11	L3 <u>Sběrnice</u> $B = 1$ $U = 400 \text{ V}$ ($U_n + 0.0\%$)	$I_k1'' = 2.32 \text{ kA}$ O.K. $Z_{sv} < Z_s(0,4s)$ ($133 \text{ m}\Omega < 339 \text{ m}\Omega$, $2/3 Z_s = 226 \text{ m}\Omega$) $i_{p1} = 3.35 \text{ kA}$
1.25	<u>Vývod</u> $S = 0 \text{ VA}$ $U = 400 \text{ V}$ ($U_n + 0.0\%$)	O.K. $Z_{sv} < Z_s(0,4s)$ ($133 \text{ m}\Omega < 339 \text{ m}\Omega$, $2/3 Z_s = 226 \text{ m}\Omega$) $i_o = 3.69 \text{ kA}$

Zapojení	Přístroj	Poznámka
1T1	TE775 6/0.40 In = 909 A Sr = 630 kVA Ik'' = 14.8 kA U2 = 231/400 V dU = 0.0 % uk = 6 % ip = 33.4 kA	
1F2	<u>PNA000qG</u> In = 80 A Icc = 120 kA io = 5.98 kA	Připojeno pomocí FH000
1L3	<u>1-AYKY 4x70</u> Iz = 113 A tm = 68 ° C (Ik'' = 3.52 kA) 130 m v zemi (D) dU = 0.0 % I ² t < k ² S ² io = 4.11 kA	
1B5	L1 <u>Sběrnice</u> B = 1 Ik1'' = 2.32 kA U = 400 V (Un + 0.0%) ip1 = 3.35 kA	
1B6	L2 <u>Sběrnice</u> B = 1 Ik1'' = 2.32 kA U = 400 V (Un + 0.0%) ip1 = 3.35 kA	
1B7	L3 <u>Sběrnice</u> B = 1 Ik1'' = 2.32 kA U = 400 V (Un + 0.0%) ip1 = 3.35 kA	
1B9	L1 <u>Sběrnice</u> B = 1 Ik1'' = 2.32 kA U = 400 V (Un + 0.0%) ip1 = 3.35 kA	
1B10	L2 <u>Sběrnice</u> B = 1 Ik1'' = 2.32 kA U = 400 V (Un + 0.0%) ip1 = 3.35 kA	
1B11	L3 <u>Sběrnice</u> B = 1 Ik1'' = 2.32 kA U = 400 V (Un + 0.0%) ip1 = 3.35 kA	
1.25	<u>Vývod</u> S = 0 VA U = 400 V (Un + 0.0%) io = 3.69 kA	(Ik'' = 3.52 kA, ip = 5.08 kA)

Projekt : Napojenie odberateľov v oblasti Lúnik 9
Vypínací charakteristiky - selektívita ižšění - paprsek 1

Datum : 29.5.2022

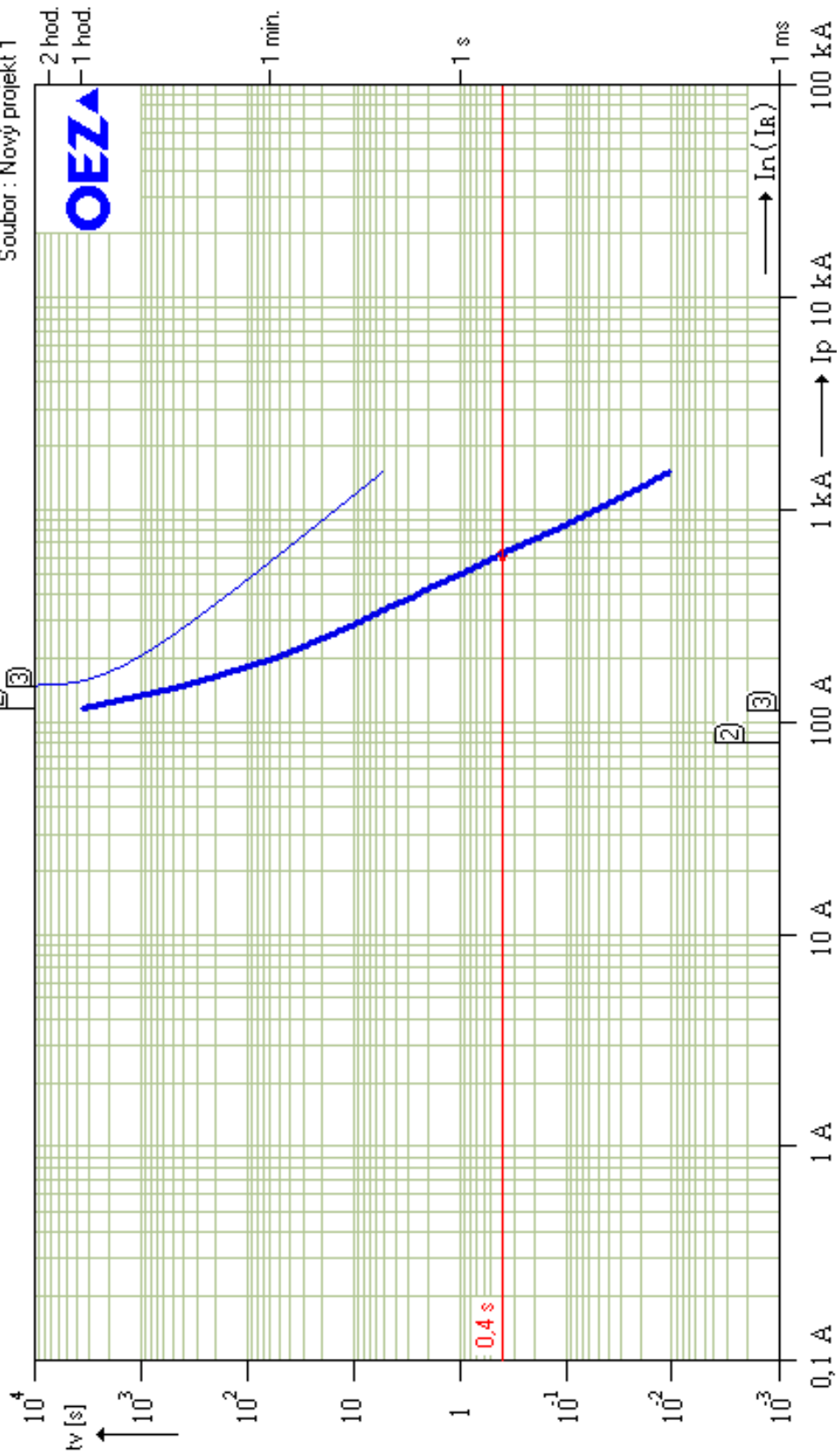
Soubor : Nový projekt 1



Projekt : Napojenie odberateľov v oblasti Lúnik 9
Vypínací charakteristiky - impedanční smyčky - paprsek 1

Datum : 29.5.2022

Soubor : Nový projekt 1



Projekt : Napojenie odberateľov v oblasti Lúnik 9
Vypínací charakteristiky - paprsek 1

Datum : 29.5.2022

Soubor : Nový projekt 1

